

## НЕКОТОРЫЕ ПРОЯВЛЕНИЯ СПОСОБНОСТИ К ОРИЕНТИРОВАННОМУ ПРЕВРАЩЕНИЮ ДЛЯ СПЛАВОВ С ПАМЯТЬЮ ФОРМЫ

УДК 539.4

А. А. Мовчан

Институт прикладной механики РАН, 117334 Москва

Одно из уникальных свойств сплавов с памятью формы состоит в характерном для них ориентированном превращении [1, 2], суть которого сводится к следующему. Пусть образец, находящийся под действием напряжения  $\sigma_{ij}$ , охлаждается через интервал температур прямого мартенситного превращения ( $M_1, M_2$ ). В результате в нем развивается деформация прямого превращения  $\varepsilon_{ij}$ , девиатор которой соосен девиатору приложенного напряжения. При некоторой промежуточной температуре  $T_0$  ( $M_2 < T_0 < M_1$ ) действующее напряжение снимается. При дальнейшем снижении температуры ненагруженный образец продолжает деформироваться в направлении ранее приложенного напряжения, что объясняется развитием ориентированных ранее действовавшими напряжениями кристаллов мартенсита [2]. Этот эффект достаточно хорошо изучен экспериментально на одномерных образцах при растяжении и кручении [3, 4] и описан с помощью микромеханических определяющих уравнений для сплавов с памятью формы [5–7].

В данной работе предлагается способ решения краевых задач о прямом превращении при меняющихся граничных условиях, с помощью которого удается описать более сложные проявления ориентированного превращения.

1. В [5–7] приведены определяющие уравнения для сплавов с памятью формы, моделирующие с помощью микромеханической схемы [8] процессы зарождения и развития кристаллов термоупругого мартенсита в аустенитной матрице. Для прямого превращения из полностью аустенитного состояния эти определяющие уравнения имеют вид

$$\varepsilon_{ij} = \varepsilon_{ij}^1 + \varepsilon_{ij}^2 + \varepsilon_{ij}^3, \quad \varepsilon_{ij}^{1l} = \frac{\sigma_{ij}'}{2G}, \quad \varepsilon_{kk}^1 = \frac{1}{K}\sigma_{kk}, \quad \varepsilon_{ij}^3 = \alpha(T - T_0)\delta_{ij}, \\ \frac{d\varepsilon_{ij}^{2l}}{dq} = c_0\sigma_{ij}' + a_0\varepsilon_{ij}^{2l}, \quad \frac{d\varepsilon_{kk}^2}{dq} = \beta_0 + a_0\varepsilon_{kk}^2; \quad (1.1)$$

$$q = \sin\left(\frac{\pi}{2} \frac{T - M_1}{M_2 - M_1}\right), \quad (1.2)$$

где  $\varepsilon_{ij}^1, \varepsilon_{ij}^2, \varepsilon_{ij}^3$  — упругая, фазовая и температурная деформации;  $T_0 \geq M_1$  — температура, при которой температурная деформация считается равной нулю;  $\sigma_{ij}$  — тензор напряжений; штрихом обозначены компоненты девиаторов;  $G$  и  $K$  — модуль сдвига и объемного расширения;  $\alpha$  — коэффициент температурного расширения;  $q$  — доля мартенситной фазы в объеме материала;  $c_0, a_0$  и  $\beta_0$  — постоянные материала, значения которых для никелида титана [3] и сплава CuAlMnCo [4] определены в [6].

Решение дифференциального уравнения для девиатора фазовой деформации может

быть записано как

$$\varepsilon_{ij}^{2l} = \int_0^q K(q - \xi) \sigma'_{ij}(\xi) d\xi, \quad K(q) = c_0 \exp(a_0 q).$$

Здесь очевидна аналогия с линейной вязкоупругостью, причем роль времени играет величина  $q$  (возможно использование других ядер, например степенного  $K(q) = c_0 q^m$ ). Одно из принципиальных отличий данной модели состоит в том, что в ней ядро — возрастающая функция ( $a_0 > 0, m > 0$ ), т. е. сплавы с памятью формы в рамках этой аналогии можно трактовать как среды с не затухающей, а, наоборот, с усиливающейся памятью о предшествующей (по  $q$ ) истории нагружения. С этим и связано ориентированное превращение, которое в обычных вязкоупругих средах с затухающей памятью не наблюдается. Второе отличие состоит в том, что здесь параметр  $q$  может как возрастать, так и убывать, причем в случае убывания  $q$  (обратное превращение) справедливы совсем другие определяющие уравнения [5–7].

Для многих сплавов с памятью формы объемная доля мартенситной фазы  $q$  зависит не только от температуры, но и от действующих напряжений. Однако при исследовании смещений, связанных с ориентированным превращением, когда напряжения снимаются, этой зависимостью можно пренебречь.

2. Для решения краевых задач к определяющим уравнениям, уравнениям равновесия, совместности и граничным условиям применяется преобразование Лапласа по переменной  $q$ . В пространстве изображений определяющие уравнения для образа полной деформации принимают вид

$$\hat{\varepsilon}'_{ij} = \frac{1}{2\hat{G}(s)} \dot{\sigma}'_{ij}, \quad \hat{\varepsilon}_{kk} = \frac{1}{K} \hat{\sigma}_{kk} + \hat{\varepsilon}_0(s),$$

где символом  $\hat{\cdot}$  обозначены образы по Лапласу;

$$s \rightarrow q, \quad \hat{\varepsilon}_0(s) = \frac{\beta_0}{s(s - a_0)} + 3F(s), \quad F(s) \rightarrow \alpha(T - T_0), \quad \hat{G}(s) = G \frac{s - a_0}{s - a}, \quad d = a_0 - 2c_0G \quad (2.1)$$

(стрелка означает соответствие по Лапласу). Таким образом, задача о прямом превращении в пространстве изображений сводится к упругой с начальной объемной деформацией  $\hat{\varepsilon}_0(s)$ .

Решение задачи сводится к следующему. Если заданы, вообще говоря, переменные объемные силы  $F_i(t)$ , правые части силовых  $T_i^0(t)$  ( $\sigma_{ij}n_j = T_i^0(t)$  на  $S_T$ ) и кинематических  $u_i^0(t)$  ( $u_i = u_i^0(t)$  на  $S_u$ ) граничных условий, то эти величины представляются как функции монотонно уменьшающейся температуры  $T(t)$ :  $F_i = F_i(T)$ ,  $T_i^0 = T_i^0(T)$ ,  $u_i^0 = u_i^0(T)$ . С использованием соотношения (1.2) эти величины выражаются как функции  $q$ , которые продолжаются через точку  $q = 1$  произвольным образом (лишь бы существовали преобразования Лапласа от соответствующих функций). Обычно выбираются простейшие продолжения. Например, функции, постоянные на интервале  $0 < q < 1$ , считаются постоянными на всей оси  $q > 0$ . Далее определяются образы по Лапласу  $F_i(q) \rightarrow \hat{F}_i(s)$ ,  $T_i^0(q) \rightarrow \hat{T}_i^0(s)$ ,  $u_i^0(q) \rightarrow \hat{u}_i^0(s)$ , которые и будут объемными силами, силовыми и кинематическими граничными условиями в эквивалентной упругой задаче. Находя ее решение в виде функции модуля сдвига  $\hat{G}(s)$ , начальной объемной деформации  $\hat{\varepsilon}_0(s)$  и величин  $\hat{F}_i(s)$ ,  $\hat{T}_i^0(s)$ ,  $\hat{u}_i^0(s)$  и переходя к оригиналам, можно получить решение задачи о прямом превращении.

В дальнейшем понадобятся образы по Лапласу для соответствующих упругих посто-

янных:

$$\hat{E}(s) = E \frac{s - a_0}{s - \beta}, \quad \hat{\nu}(s) = \nu \frac{s - \gamma}{s - \beta}, \quad \hat{D}(s) = D \frac{(s - a_0)(s - \beta)}{(s - d)(s - \delta)}. \quad (2.2)$$

Здесь  $\beta = a_0 - 2c_0E/3$ ;  $\gamma = a_0 - Ec_0/(3\nu)$ ;  $\delta = a_0 - c_0E/(3(1-\nu))$ ;  $E$ ,  $\nu$ ,  $D$  — модуль Юнга, коэффициент Пуассона и цилиндрическая жесткость. Легко видеть, что при  $0 < \nu \leq 0,5$ ,  $a_0 > 0$ ,  $c_0 > 0$  выполняются неравенства

$$a_0 > \delta \geq \beta \geq d \geq \gamma, \quad (2.3)$$

причем для несжимаемых материалов ( $\nu = 0,5$ )  $\delta = \beta = d = \gamma$ .

**3.** Пусть один конец стержня постоянного поперечного сечения и длины  $L$  из сплава с памятью формы, находящегося в аустенитном состоянии при температуре  $T_0$ , закреплен, а другому сообщено в пределах упругих деформаций продольное перемещение  $u_0$ , и в этом новом положении он также закреплен. Растворенный таким образом стержень охлаждается через интервал температур ( $M_1$ ,  $M_2$ ), что должно вызвать релаксацию напряжений, так как фазовая деформация развивается в сторону действующего напряжения.

Решение соответствующей упругой задачи при наличии начальной объемной деформации  $\epsilon_0$  имеет вид  $\sigma = E(\delta_0 - (1/3)\epsilon_0)$ , где  $\delta_0 = u_0/L$ . Заменяя здесь модуль упругости и объемную деформацию на выражения  $\hat{E}(s)$  и  $\hat{\epsilon}_0(s)$  (2.1), (2.2), для напряжения в пространстве изображений получим

$$\hat{\sigma}(s) = E \left[ \frac{\delta_0(s - a_0)}{s(s - \beta)} - \frac{\beta_0}{3s(s - a_0)} - F(s) + \frac{2c_0E}{3} \frac{F(s)}{s - \beta} \right].$$

Переходя к оригиналам, можно найти зависимость напряжения от температуры:

$$\frac{\sigma}{\sigma_0} = \frac{1}{\beta} \left( a_0 + \frac{\beta_0}{3\delta_0} - \lambda \frac{\epsilon_2}{\delta_0} \right) - \left[ \frac{1}{\beta} \left( \lambda \left( 1 - \frac{\epsilon_2}{\delta_0} \right) + \frac{\beta_0}{3\delta_0} \right) + \frac{6\lambda\epsilon_1}{\pi\delta_0} I(q) \right] \exp(\beta q). \quad (3.1)$$

Здесь  $\sigma_0 = E\delta_0$ ;  $\lambda = 2Ec_0/3$ ;  $\epsilon_1 = \alpha(M_1 - M_2)$ ;  $\epsilon_2 = \alpha(M_1 - T_0)$ ;

$$I(q) = \int_0^q \arcsin(\tau) \exp(-\beta\tau) d\tau. \quad (3.2)$$

На рис. 1 сплошными линиями показана зависимость  $S = \sigma/\sigma_0$  от  $q$  для никелида титана [3] (кривая 1) и сплава CuAlMnCo [4] (кривая 2). В первом случае

$$\begin{aligned} a_0 &= 0,718, \quad c_0 = 0,243 \cdot 10^{-3}, \quad \beta_0 = 0,0011 \quad [6, 7], \\ E &= 28000 \text{ МПа}, \quad \alpha = 0,6 \cdot 10^{-5} \quad [9], \quad M_1 = 50^\circ\text{C}, \quad M_2 = 25^\circ\text{C}. \end{aligned} \quad (3.3)$$

Для сплава на основе меди [4]

$$\begin{aligned} a_0 &= 0,257, \quad c_0 = 0,152 \cdot 10^{-3}, \quad \beta_0 = 0,117 \cdot 10^{-3} \quad [6, 7], \\ E &= 7000 \text{ МПа}, \quad \alpha = 0,143 \cdot 10^{-4}, \quad M_1 = -27^\circ\text{C}, \quad M_2 = -34^\circ\text{C} \quad [10]. \end{aligned} \quad (3.4)$$

Первоначальное растяжение в обоих случаях производилось при температуре  $T = M_1$  и начальной деформации  $\delta_0 = 0,002$ .

Как видно из приведенных графиков, при снижении температуры напряжения падают до нуля при некотором значении  $q = q^*$ , зависящем от параметров материала и начальной деформации  $\delta_0$ . При  $\delta_0 = 0,002$  для никелида титана  $q^* = 0,434$ , а для сплава CuAlMnCo  $q^* = 0,743$ . С уменьшением  $\delta_0$  значение  $q^*$  падает.

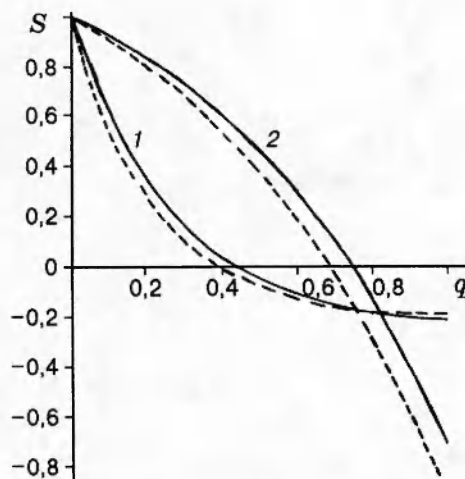


Рис. 1

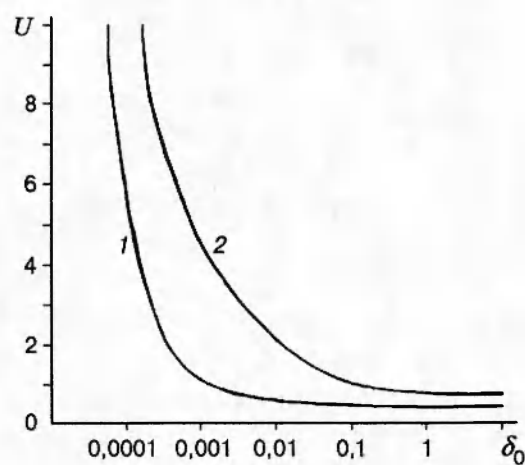


Рис. 2

При дальнейшем охлаждении в первоначально растянутом стержне развиваются сжимающие напряжения, что является следствием ориентированного превращения, из-за которого, хотя при  $q = q^*$  напряжения и равны нулю, скорость фазовой деформации отлична от нуля и положительна. Отношение сжимающего напряжения при  $q = 1$  к исходному значению растягивающего напряжения только за счет ориентированного превращения доходит до 0,62 для сплава CuAlMnCo и до 0,21 для никелида титана (эти значения получены из формулы (3.1) при  $\delta_0 \rightarrow \infty$ , когда обращаются в нуль слагаемые, связанные с фазовой объемной и температурной деформациями). Этот эффект растет с уменьшением  $\delta_0$  (усиливается за счет объемной фазовой деформации и изменения температуры). Температурное сжатие из-за охлаждения, с одной стороны, при  $q > q^*$  уменьшает модуль сжимающих напряжений, а с другой — при  $q < q^*$  температурные растягивающие напряжения увеличивают последующий эффект ориентированного превращения. Вычисления показывают, что последнее влияние преобладает. При  $\delta_0 \rightarrow 0 |S(1)| \rightarrow \infty$ .

Пусть теперь закрепление другого конца стержня носит односторонний характер, когда он может свободно увеличивать свою длину свыше  $L + u_0$ , но не может стать короче  $L + u_0$ . Здесь граничное условие имеет вид  $u(L) = u_0$  при  $\sigma < 0$  и  $u(L) > u_0$  при  $\sigma = 0$ . Для этой задачи решение (3.1) справедливо лишь при  $q \leq q^*$ . При дальнейшем охлаждении стержень удлиняется за счет ориентированного превращения и развития фазовой объемной деформации и сокращается за счет температурных деформаций. Далее будет показано, что удлинение за счет первых двух факторов превосходит укорочение за счет третьего. Тогда стержень будет деформироваться в свободном от напряжений состоянии. Упругая деформация равна нулю, а фазовая  $\varepsilon^2(q)$  может быть найдена путем интегрирования уравнений (1.1) при  $\sigma_{ij} = 0$ . В результате полная деформация определяется по формуле

$$\varepsilon(q) = (\varepsilon^2(q^*) + \beta_0/3a_0) \exp[a_0(q - q^*)] - \beta_0/3a_0 + \alpha(T - T_0).$$

Выражая величину фазовой деформации при  $q = q^*$  через заданное начальное смещение  $u_0$  ( $\varepsilon^2(q^*) = u_0/L - \alpha(T - T_0)$ ), для перемещений свободного конца стержня при  $q \geq q^*$  получим

$$u = u_0 \exp[a_0(q - q^*)] + L[\beta_0/3a_0 - \alpha(T - T_0)][\exp(a_0(q - q^*)) - 1]. \quad (3.5)$$

Согласно этой зависимости, при  $q > q^*$  выполняется  $u > u_0$ , т. е. стержень действительно будет деформироваться в свободном от напряжений состоянии.

На рис. 2 приведена зависимость относительного дополнительного смещения  $U = (u - u_0)/u_0$  от начальной деформации  $\delta_0$  при полном превращении ( $q = 1$ ). Кривая 1 соответствует никелиду титана, 2 — сплаву CuAlMnCo. При  $\delta_0 \rightarrow 0$   $U \rightarrow \infty$  (за счет объемной деформации фазового превращения и температурного слагаемого). При  $\delta_0 \rightarrow \infty$  величина  $U$  асимптотически стремится к значению  $\exp[a_0(1 - q^*)] - 1$ , соответствующему учету только фазовой деформации изменения формы. Как видно, дополнительное смещение, связанное с ориентированным превращением, может существенно превосходить исходное значение  $u_0$ .

4. Аналогично решается задача о бесконечной плоскости с круглым отверстием радиуса  $a$  (плоское напряженное состояние) из материала с памятью формы. В отверстие вставляется жесткая круглая шайба радиусом  $a + W_0$ . Предположим, что контур шайбы жестко скреплен (сварен) с контуром отверстия, что отвечает граничному условию в виде заданного радиального смещения  $W_0$  на контуре отверстия. Решение соответствующей упругой задачи при наличии начальной объемной деформации  $\varepsilon_0$  имеет вид

$$W = \frac{aW_0}{r} + \frac{1}{3}\varepsilon_0\left(r - \frac{a^2}{r}\right), \quad \sigma_r = -\sigma_\theta = 2G \frac{a}{r^2} \left(W_0 - \frac{a\varepsilon_0}{3}\right), \quad (4.1)$$

где  $r$  — радиус;  $W$  — радиальное смещение;  $\sigma_r$  и  $\sigma_\theta$  — радиальное и кольцевое напряжения. Заменяя в этих выражениях модуль  $G$  и объемную деформацию  $\varepsilon_0$  на соответствующие операторы  $\hat{G}(s)$  и  $\hat{\varepsilon}_0(s)$  (2.1) и переходя к оригиналам, получим

$$\begin{aligned} W &= \frac{aW_0}{r} + \left(r - \frac{a^2}{r}\right) \left(\frac{1}{a_0} [\exp(a_0 q) - 1] \frac{\beta_0}{3} + \alpha(T - T_0)\right), \\ \sigma_r = -\sigma_\theta &= \sigma_0 \left\{ \frac{a_0 - g \exp(qd)}{d} - \frac{1}{\delta_0} \left[ \frac{\beta_0/3 + g\varepsilon_1}{d} (\exp(qd) - 1) + \right. \right. \\ &\quad \left. \left. + \alpha(T - T_0) + \frac{2g\varepsilon_2}{\pi} \exp(qd) I(q) \right] \right\}. \end{aligned} \quad (4.2)$$

Здесь  $\sigma_0 = -2aGW_0/r^2$  — функция, дающая распределение радиальных напряжений в упругой задаче;  $g = 2Gc_0$ ;  $\delta_0 = W_0/a$ ; интеграл  $I(q)$  определяется зависимостью (3.2).

На рис. 1 штриховыми линиями показана зависимость отношения  $S = \sigma_r/\sigma_0$  от  $q$  для значений параметров материала, характерных для никелида титана (3.3) (кривая 1) и сплава CuAlMnCo (3.4) (кривая 2), при этом  $\delta_0 = 0,002$ . Как видно из графиков, изменение напряжений с ростом  $q$  качественно аналогично и количественно незначительно отличается от решения для напряжений в предыдущей задаче.

Пусть сцепление между контурами шайбы и отверстия отсутствует, т. е. граничное условие на контуре отверстия имеет вид  $W = W_0$  при  $\sigma_r < 0$  и  $W > W_0$  при  $\sigma_r = 0$ . В этой задаче решение (4.2) справедливо лишь для  $q \leq q^*$ . При  $q = q^*$ , согласно второй формуле (4.1), все компоненты напряжений в каждой точке полуплоскости обращаются в нуль. При дальнейшем охлаждении материал благодаря ориентированному превращению будет свободно деформироваться в ненапряженном состоянии. Рассуждая так же, как и в предыдущей задаче, для радиального смещения контура отверстия  $W$  имеем

$$W = W_0 \exp[a_0(q - q^*)] + a[\beta_0/3a_0 - \alpha(T - T_0)][\exp(a_0(q - q^*)) - 1]. \quad (4.3)$$

Формула (4.3) получается из (3.5) путем замены длины стержня  $L$  на радиус отверстия  $a$ .

Тем не менее относительное смещение  $W/W_0$  в задаче о плоскости с отверстием при одинаковых значениях относительного начального смещения и  $q$  несколько отличается от  $u/u_0$  в задаче о стержне, поскольку значения  $q^*$  в этих задачах различны. Однако в качественном отношении поведение решений обеих задач одинаково. В частности, диаметр отверстия в полуплоскости после прямого превращения может существенно превышать диаметр шайбы так, что их отношение стремится к бесконечности при  $\delta_0 \rightarrow 0$ .

5. Несколько сложнее смоделировать эксперимент, с помощью которого был обнаружен эффект ориентированного превращения [1]. Рассматривается тонкая прямоугольная полоса из сплава с памятью формы в аустенитном состоянии, защемленная на одном конце. Другому концу сообщается с помощью одностороннего воздействия жесткой подставки смещение  $W_0$  (оно может свободно увеличиваться, но не может уменьшаться). После этого полоса охлаждается через интервал температур прямого мартенситного превращения. В [1] обнаружено, что, начиная с некоторой промежуточной температуры  $T_1$ , при дальнейшем охлаждении полосы она отходит от подставки, и другой ее конец совершает дополнительное перемещение, направленное в ту же сторону, что и  $W_0$ . Температура  $T_1$  не зависит от начального прогиба  $W_0$ . Результирующий прогиб  $W$ , достигаемый при охлаждении до фиксированной температуры, пропорционален начальному прогибу  $W_0$  [1].

При решении задачи изгиба в рамках гипотезы Кирхгофа — Лява можно пренебречь влиянием на прогиб объемной фазовой и температурной деформаций. Решение упругой задачи о цилиндрическом изгибе прямоугольной полосы, заделанной на одном конце и смещенной на  $W_0$  на противоположном, имеет вид

$$\ddot{w} = \frac{W_0}{2L^2} \left( 3x^2 - \frac{x^3}{L} \right), \quad M_x = -\frac{3DW_0}{L^3} (L-x), \quad M_y = -\frac{3\nu DW_0}{L^3} (L-x), \quad P = \frac{3DW_0}{L^3}.$$

Здесь  $L$  — длина полосы;  $x$  — продольная координата;  $M_x, M_y$  — изгибающие моменты;  $P$  — приходящаяся на единицу ширины полосы сосредоточенная поперечная сила, действующая со стороны подставки на пластину при  $x = L$ .

Применяя преобразование Лапласа в пространстве изображений для задачи, в которой положение конца пластины фиксировано с двух сторон, и используя выражения для  $\hat{D}(s)$  и  $\hat{\nu}(s)$  (2.2), получим

$$\frac{\hat{M}_x(s)}{x-L} = \hat{P}(s) = \frac{3W_0D}{L^3} \frac{(s-a_0)(s-\beta)}{s(s-d)(s-\delta)}, \quad (5.1)$$

$$\frac{\hat{M}_y(s)}{x-L} = \frac{3W_0\nu D}{L^3} \frac{(s-a_0)(s-\gamma)}{s(s-d)(s-\delta)}. \quad (5.2)$$

После перехода к оригиналам имеем

$$P(q) = (3W_0D/L^3)f_1(q), \quad M_x(q) = P(q)(x-L); \quad (5.3)$$

$$f_1(q) = A \exp(dq) + B \exp(\delta q) + C; \quad (5.4)$$

$$A = \frac{d^2 - d(a_0 + \beta) + a_0\beta}{d(d - \delta)}, \quad B = \frac{\delta^2 - \delta(a_0 + \beta) + a_0\beta}{\delta(\delta - d)}, \quad C = \frac{a_0\beta}{d\delta}. \quad (5.5)$$

Согласно (5.3) и неравенству (2.3), сила  $P$  уменьшается с ростом  $q$ . При некотором значении  $q = q^*$ , являющемся корнем уравнения  $f_1(q) = 0$  и не зависящем от  $W_0$ , сила  $P$  и изгибающий момент  $M_x$  обращаются в нуль вместе с напряжениями  $\sigma_x$ , после чего в задаче о двустороннем защемлении второго конца пластины сила  $P$ , необходимая для сохранения

постоянства прогиба  $W_0$ , становится отрицательной и растет по абсолютной величине при дальнейшем охлаждении. Меняется также знак изгибающего момента  $M_x$  и соответствующих нормальных напряжений  $\sigma_x$  (так что на поверхности пластины, обращенной в сторону перемещения  $W_0$ , возникают растягивающие напряжения  $\sigma_x$ , а на противоположной стороне — сжимающие). Ясно, что этот эффект есть следствие ориентированного превращения. Для никелида титана с приведенными выше значениями характеристик  $q^* = 0,563$ , для сплава CuAlMnCo  $q^* = 0,817$ .

Переходя к оригиналам в формуле (5.2), для изгибающего момента  $M_y$  находим  $M_y(q) = (3W_0\nu D/L^3)f_2(q)(x - L)$ , где функция  $f_2(q)$  вычисляется по формуле (5.4), но в выражениях для коэффициентов (5.5) необходимо заменить параметр  $\beta$  на  $\gamma$ . Используя неравенства (2.3), можно показать, что значение функции  $f_2$  будет уменьшаться с ростом  $q$ , однако медленнее, чем значение  $f_1$ . Поэтому для сплава CuAlMnCo поперечный момент  $M_y$ , убывая с ростом  $q$ , остается положительным. В никелиде титана момент  $M_y$  и напряжения  $\sigma_y$  обращаются в нуль при  $q = q^{**} = 0,687$  и при дальнейшем охлаждении меняют знак. Из-за несовпадения значений  $q^{**} > q^*$  полной релаксации напряжений в пластине не будет ни при каком значении  $q$ .

В задаче с односторонним закреплением правого конца пластины полученное выше решение справедливо для  $0 \leq q \leq q^*$ . Решение для  $q > q^*$  затруднено тем, что в пластине сохраняются отличные от нуля напряжения  $\sigma_y$  и входящие в уравнение для фазовой деформации компоненты девиатора напряжений не только не равны нулю, но и меняются в процессе деформирования. Поэтому в данном случае для решения задачи об одностороннем закреплении при  $q > q^*$  применяется преобразование Лапласа. Для определения прогиба при  $q > q^*$  может быть решена задача о действии на правый конец рассматриваемой пластины силы  $P_1(q)$ , меняющейся по закону  $P_1(q) = (3W_0D/L^3)f_1(q)$  при  $q < q^*$  и  $P_1(q) = 0$  при  $q > q^*$ . Решение соответствующей эквивалентной упругой задачи для прогиба правого конца имеет вид

$$\hat{W}(s) = L^3 \hat{P}_1(s)/(3\hat{D}(s)). \quad (5.6)$$

Здесь образ по Лапласу от функции  $P_1(q)$  проще всего найти по определению

$$\begin{aligned} \hat{P}_1(s) &= \frac{3\hat{W}_0\hat{D}}{L^3} \int_0^{q^*} f_1(q) \exp(-sq) dq = \\ &= \frac{3W_0D}{L^3} \frac{A\delta \exp(q^*d) + B\delta \exp(q^*\delta) - C\delta d + Cs(d+\delta)}{s(d-s)(\delta-s)} \exp(-sq^*). \end{aligned} \quad (5.7)$$

Подставляя (5.7) в (5.6) и переходя к оригиналам, получим

$$\begin{aligned} \frac{W_t}{W_0} &- \frac{(a_0 + \lambda) \exp[\beta(q - q^*)] - (\beta + \lambda) \exp[a_0(q - q^*)]}{a_0 - \beta}, \\ \lambda &= Ad \exp(q^*d) + B\delta \exp(q^*\delta). \end{aligned} \quad (5.8)$$

Решение значительно упрощается для несжимаемого материала ( $\nu = 0,5$ ):

$$W_t = W_0 \exp[a_0(q - q^*)]. \quad (5.9)$$

Соотношение (5.9) справедливо, если речь идет не о пластине, а об ориентированном превращении в изгибающей балке. Поскольку, согласно (5.8) или (5.9), при  $q > q^*$  выполняется неравенство  $W_t > W_0$ , то правый конец пластины действительно отходит от подставки.

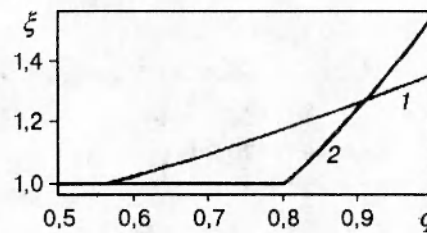


Рис. 3

Так как  $q^*$  не зависит от  $W_0$ , то, согласно полученному решению, температура, при которой начинается отход, одинакова для всех  $W_0$ , что соответствует экспериментальным данным [1]. Согласно полученным решениям, при фиксированном значении  $q$  прогиб  $W$  действительно пропорционален  $W_0$ , как это и наблюдается в эксперименте [1].

На рис. 3 приведена рассчитанная по формуле (5.8) зависимость  $\xi = W/W_0$  от  $q$  для никелида титана (кривая 1) и сплава CuAlMnCo (кривая 2). Интересно отметить, что для материальных постоянных, характерных для этих сплавов, значения, найденные по формулам (5.8) и (5.9), отличаются в третьем знаке.

6. Рассматривается контактная задача о штампе с параболическим основанием (профиль  $y = x^2/(2R)$ ), прижатым силой  $P$  к полу平面ости из материала с памятью формы в аустенитном состоянии. Нормальные смещения точек плоскости и штампа одинаковы, касательные напряжения между ними отсутствуют. Осуществляется охлаждение через интервал температур прямого мартенситного превращения. Необходимо найти закон изменения прижимающей силы  $P$ , обеспечивающий постоянство размера зоны контакта  $2L$ .

Упругое решение задачи для давления под штампом  $S$  имеет вид [11]

$$S = \left( \frac{G}{1-\nu} \frac{L^2 - 2x^2}{2R} + \frac{P(q)}{\pi} \right) (L^2 - x^2)^{-0.5}, \quad (6.1)$$

где  $P(q)$  — неизвестная внешняя сила, действующая на штамп. Переходя к эквивалентной упругой задаче, получим

$$\hat{S}(s) = \left( \frac{G}{1-\nu} \frac{(s-a)(s-\beta)}{s(s-d)(s-\delta)} \frac{L^2 - 2x^2}{2R} + \frac{\hat{P}(s)}{\pi} \right) (L^2 - x^2)^{-0.5}$$

( $\hat{P}(s)$  — образ по Лапласу от функции  $P(q)$ ). После перехода к оригиналам

$$S(q, x) = \left( \frac{G}{1-\nu} f_1(q) \frac{L^2 - 2x^2}{2R} + \frac{P(q)}{\pi} \right) (L^2 - x^2)^{-0.5}$$

(функция  $f_1(q)$  определяется формулой (5.4)). Здесь удалось так просто решить задачу с переменной нагрузкой только потому, что слагаемое, пропорциональное нагрузке в решении (6.1), не зависит от упругих постоянных. Записывая условие ограниченности давления при  $x = L$ , находим искомое соотношение

$$P(q) = \frac{G}{1-\nu} \pi f_1(q) \frac{L^2}{2R}. \quad (6.2)$$

Согласно (6.2), при охлаждении сила, требуемая для сохранения постоянной площадки контакта, уменьшается, обращаясь в нуль при  $q = q^*$ , где  $q^*$  есть корень уравнения  $f_1(q) = 0$ . В этой точке силовое взаимодействие между штампом и полу平面остью отсутствует, однако скорость деформации отлична от нуля вследствие ориентированного

превращения. Из-за этого при дальнейшем охлаждении сила, необходимая для поддержания заданной площадки контакта, становится отрицательной, т. е. материал как бы «затягивает» штамп в себя. Разумеется, этот вывод справедлив лишь в рассматриваемой постановке задачи, когда точки штампа не могут отходить от соответствующих точек полуплоскости. В задаче о прямом превращении при фиксированной силе  $P$ , действующей на штамп, зависимость полуразмера площадки контакта  $L$  от  $q$  может быть найдена исходя из уравнения (6.2). В результате получается, что при охлаждении размер площадки контакта растет, стремясь к бесконечности при  $q \rightarrow q^*$ . Это также есть следствие ориентированного превращения.

Работа выполнена при финансовой поддержке Российского фонда фундаментальных исследований (код проекта 96-01-01406).

## ЛИТЕРАТУРА

1. Витайкин Е. З., Литвин Д. Ф., Макушев С. Ю., Удовенко В. А. Структурный механизм эффекта памяти формы в сплавах MnCu // Докл. АН СССР. 1976. Т. 229, № 3. С. 597–600.
2. Лихачев В. А., Кузьмин С. Л., Каменцева З. П. Эффект памяти формы. Л.: Изд-во Ленингр. ун-та, 1987.
3. Кузьмин С. Л., Лихачев В. А., Шиманский С. Р., Чернышенко А. И. Эффект ориентированного превращения в никелиде титана // Физика металлов и металловедение. 1984. Т. 57, вып. 3. С. 612–614.
4. Лихачев В. А., Малинин В. Г., Овчаренко С. Я. Деформация ориентированного превращения сплава CuAlMnCo // Материалы с новыми функциональными свойствами. Материалы семинара. Новгород, 1990.
5. Мовчан А. А. Микромеханический подход к описанию деформации мартенситных превращений в сплавах с памятью формы // Изв. РАН. МТТ. 1995. № 1. С. 197–205.
6. Мовчан А. А. Выбор аппроксимации диаграммы перехода и модели исчезновения кристаллов мартенсита для сплавов с памятью формы // ПМТФ. 1995. Т. 36, № 2. С. 173–181.
7. Мовчан А. А. Микромеханические определяющие уравнения для сплавов с памятью формы // Проблемы машиностроения и надежности машин. 1994. № 6. С. 47–53.
8. Мовчан А. А. Микромеханический подход к проблеме описания анизотропных рассеянных повреждений // Изв. РАН. МТТ. 1990. № 3. С. 115–123.
9. Корнилов И. И., Белоусов О. К., Качур Е. В. Никелид титана и другие сплавы с эффектом «памяти». М.: Наука, 1977.
10. Liang C., Rogers C. A. One dimensional thermomechanical constitutive relations for shape memory materials // J. Intelligent Mater. System and Struct. 1990. V. 1, N 2. P. 207–234.
11. Мусхелишвили Н. И. Некоторые основные задачи математической теории упругости. М.: Наука, 1966.

Поступила в редакцию 21/VII 1995 г.